

# بررسی فضای کاری ربات موازی استوارت-گوف با سفتی از پیش تعریف شده

میرامن حسینی (دانشجوی دکتری)

حمدیرضا محمدی دانیالی (دانشیار)

دانشکده مهندسی مکانیک، دانشگاه صنعتی پاپل

محمد جواد ناطق (دانشیار)

دانشکده فنی و مهندسی، دانشگاه تربیت مدرس

در این نوشتار، با محاسبه‌ی ماتریس سفتی ربات موازی استوارت-گوف، جابه‌جایی کشسان مجری نهایی آن به عنوان یکی از عوامل اصلی ایجاد خطای تعیین می‌شود. با در نظر گرفتن فضای از پیش تعریف شده‌ی مکعبی، تغییرات سفتی استاتیکی، جابه‌جایی کشسان و خطای ناشی از آن در موقعیت پذیری مجری نهایی مشخص شده و فضایی که در آن جابه‌جایی کشسان از مقدار مشخصی کمتر است به عنوان فضای کاری ربات با حد پایینی دقت تعریف می‌شود. همچنین نشان داده می‌شود، استفاده از عملگرهای دارای پیش‌بار موجب غیر متقاض شدن ماتریس سفتی ربات می‌شود. سفتی اجزا با استفاده از نرم‌افزار NASTRAN محاسبه شده و نتایج حاصل از آن با مدل پلی‌اتیلنی ساخته شده مقایسه می‌شود.

ma\_hosseini@stu.nit.ac.ir  
mohammadi@nit.ac.ir  
nategh@modares.ac.ir

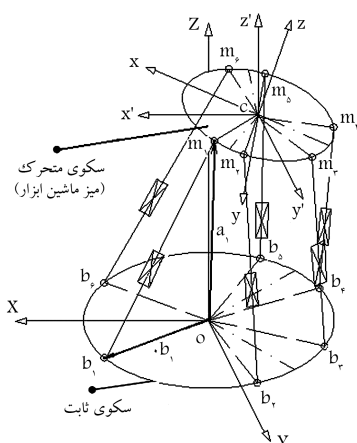
واژگان کلیدی: ربات موازی، فضای کاری، سفتی، استوارت - گوف.

## ۱. مقدمه

هرچند بعضی از شرکت‌ها، ماشین‌ابزارهایی براساس سازوکار استوارت ارائه کرده‌اند، ولی این ماشین‌ها هنوز در حد انتظار رواج نیافرته‌اند. بررسی‌های تحلیلی و تجربی بیشتری برای کاهش محدودیت‌های ترویج این نوع ماشین‌های ابزار لازم است. از جمله محدودیت‌های این سازوکار روابط پیچیده مربوط به خطاهای موقعیت‌پذیری مجری نهایی ربات است، که سهم عمدی آن مربوط به جابه‌جایی‌های الاستیک سازه در موقعیت‌های مختلف سکوی متحرک است. با بررسی جابه‌جایی الاستیک

سازوکارهای موازی تشکیل شده‌اند از یک سکوی ثابت، یک سکوی متحرک و تعدادی پایه که عهده‌دار وظیفه‌ی ارتباط دو سکو به‌وسیله‌ی تعدادی مفصل با درجات آزادی متفاوت‌اند. با تغییر طول پایه‌ها، جابه‌جایی سکوی متحرک نسبت به سکوی ثابت امکان‌پذیر خواهد بود. از جمله مزایای ربات‌های موازی صلابت زیاد، دقت بالا نسبت به وزن زیاد و سرعت عملکرد بالا است. این عوامل منجر به کاربرد این سازوکار در صنایع مختلف - ماشین‌ابزار، مخابرات، علوم پزشکی و نظامی و شبیه‌سازهای پرواز و خودرو - شده است.

از جمله‌ی سازوکارهای موازی که مورد توجه بسیاری از محققین قرار گرفته سازوکار استوارت - گوف است. در سال ۱۹۵۶، گوف ضمن معرفی این سازوکار، از آن در آزمایش تایر خودرو استفاده کرد.<sup>[۱]</sup> در سال ۱۹۶۵ نیز سازوکار استوارت از این سازوکار در شبیه‌ساز پرواز بهره برد و از آن پس به سازوکار استوارت - گوف مشهور شد.<sup>[۲]</sup> در این سازوکار سکوی متحرک با شش درجه آزادی، حرکت خود را از حرکت خطی شش پایه می‌گیرد. پایه‌ها از طرفی به‌وسیله‌ی شش مفصل کروی، هریک با سه درجه آزادی به سکوی متحرک، و از طرف دیگر به‌وسیله‌ی شش مفصل یونیورسال، هریک با درجه آزادی آنرا می‌گیرد. پایه‌ها به سکوی ثابت سازوکار متصل می‌شوند (شکل ۱). قرار گرفتن پایه‌ها به صورت موازی و تغییر طول هم زمان آنها به منظور موقعیت دهی به سکوی متحرک، سیستماتیک و روابط دینامیکی متفاوتی را نسبت به سازوکارهای سری پدید آورده است.



شکل ۱. سازوکار استوارت - گوف.<sup>[۱]</sup>

تاریخ: دریافت ۱۳۸۶/۵/۲۴، داوری ۱۱/۳، پذیرش ۱۳۸۷/۲/۱.

P است. موقعیت مفاصل کروی نسبت به دستگاه W با بردار  $a_i$  نشان داده می‌شود:

$$a_i = x + Rm_i \quad (1)$$

که در آن  $x \times 3$  بردار موقعیت نقطه‌ی C در دستگاه W،  $R_{3 \times 3}$  ماتریس چرخش دستگاه Q نسبت به دستگاه P (به پیوست رجوع شود) و  $m_i$  بردار موقعیت در دستگاه P است. بردار پایه‌ی نام نیز که با  $a_i$  نشان داده می‌شود، در دستگاه W چنین تعریف می‌شود:

$$l_i = a_i - ob_i \quad (2)$$

که در آن  $ob_i$  بردار موقعیت b در مختصات W است. بردار که پایه‌ی ها نیز مطابق رابطه‌ی ۳ است:

$$n_i = l_i / \|l_i\| \quad (3)$$

که در آن  $|l_i|$  بیان‌گر اندازه‌ی بردار پایه‌ی نام است. ارتباط ماتریس  $\Omega$  شامل سرعت خطی و زاویه‌ی میز متحرک با ماتریس  $\dot{L}$  شامل سرعت خطی پایه‌ها، را می‌توان چنین تعریف کرد:

$$\dot{L} = J^{-1} \Omega \quad (4)$$

که در آن  $J \times 6$  معکوس ماتریس ژاکوبین است و هر سطر آن را می‌توان چنین نوشت:

$$J_i^{-T} = [n_{ix} \quad n_{iy} \quad n_{iz} \quad (Rcm_i \times n_i)_x \quad (Rcm_i \times n_i)_y \quad (Rcm_i \times n_i)_z] \quad (5)$$

پانویس‌های x, y و z نشان‌دهنده‌ی مؤلفه‌های بردارهای مشخص شده در راستای محورهای X, Y و Z هستند. در صورتی که رنج<sup>۲</sup> اعمالی بر میز متحرک، با بردار  $f \in \mathbb{R}^6$  و بردار نیروهای محوری وارد بر پایه‌ها با بردار  $\mathbf{fa} \in \mathbb{R}^{6 \times 1}$  نشان داده شوند (لازم به ذکر است در حالت استاتیکی، نیروی محوری پایه‌ها دارای اهمیت‌اند). رابطه‌ی ۶ برقرار است:

$$fa = J^T f \quad (6)$$

که در آن  $J^T$  ترانهاده ماتریس ژاکوبین است. موقعیت مفاصل کروی و یونیورسال در سازه‌ی مورد نظر مطابق جدول‌های ۱ و ۲ است.

### ۳. تحلیل سفتی

با درنظر گرفتن بردار جابه‌جایی محوری پایه‌ها  $\Delta \Theta \in \mathbb{R}^{6 \times 1}$  - که در آن درایه‌ی واقع بر سطر نام نشان‌دهنده‌ی جابه‌جایی پایه‌ی نام است - تحت تأثیر بر محوری  $\Delta \Gamma \in \mathbb{R}^{6 \times 1}$  رابطه‌ی ۷ برای هر پایه برقرار است:

$$\Delta \Gamma = K \Delta \Theta \quad (7)$$

که در آن ماتریس قطری  $K \in \mathbb{R}^{6 \times 6}$  ماتریس سفتی پایه‌ها در موقعیت‌های مختلف سکوی متحرک است. درایه‌ی واقع بر سطر و ستون نام از این ماتریس با  $k_{ii}$  نشان

سازه در فضای کاری ربات، می‌توان برای جبران خطای حاصل از آن اقدام کرد. همچنین سفتی ربات موزایی در ماشین‌های ابزار نقش اساسی در نزخ برآمدگاری، عمر ابزار و پرداخت سطح کار دارد. تغییرات سفتی سازوکارهای موزایی مورد توجه بسیاری از محققین قرار گرفته است.<sup>[۱۲-۱۴]</sup> گاسلین تغییرات سفتی را برای یک مسیر مشخص نشان داده است.<sup>[۱۵]</sup> مرتلت به مسیرهای هم‌سفتی در فضای کاری ربات اشاره دارد، که در امتداد آن جابه‌جایی الاستیک دارای مقدار یکسان است.<sup>[۱۶]</sup> به طور کلی از دو روش برای تحلیل سفتی ربات‌های موزایی استفاده شده است که روش المان محدود و جدا کردن المان‌های تشکیل‌دهنده‌ی سازوکار و بررسی سفتی هریک و سرهمناسازی دوباره سفتی و به دست آوردن ماتریس سفتی مجموعه، از آن جمله‌اند. در این تحقیق از تلفیق این دو روش، یعنی تجزیه‌ی اجزاء و استفاده از روش اجراء محدود در محیط نرم‌افزار NASTRAN استفاده شده است. استفاده از این روش این امکان را به ما می‌دهد که از ساده‌سازی‌های صورت گرفته در تحقیقات پیشین، از قبیل صرف‌نظر کردن از تغییر شکل سکوهای ثابت و متحرک، وزن اجزاء تشکیل‌دهنده، اصطکاک مفاصل و پیش‌بار بودن بعضی از المان‌ها، اجتناب شود. افزایش سفتی و استفاده از عملگرهای با مهره و یاتاقان‌های غلتشی با قابلیت پیش‌بار منجر به افزایش دقت سینماتیکی و دینامیکی سازوکار می‌شود.<sup>[۱۷]</sup> همچنین استفاده از المان‌های با قابلیت پیش‌بار و در نظر گرفتن تغییر شکل سکوها، رفتار ماتریس سفتی را تغییر می‌دهد که در این تحقیق مورد ارزیابی قرار گرفته‌اند. یکی از اهداف مهم در ربات‌های موزایی با کاربرد ماشین‌ابزار دستیابی به موقعیت‌های مختلف در فضای کاری با دقت مورد نظر است. لذا جابه‌جایی‌های کشسان و سفتی سازه نقش تعیین‌کننده‌ی در شکل و اندازه‌ی فضای کاری دارد. درنتیجه بررسی فضای کاری با سفتی از پیش تعیین شده، لازم و ضروری به نظر می‌رسد.

## ۲. تحلیل سینواستاتیکی<sup>۱</sup>

برای بررسی سفتی نیاز به مطالعه‌ی روابط سینماتیکی حاکم بر میز استوارت است. سینماتیک ناظر بر روابط موجود بین طول از یک سو سرعت و شتاب خطی پایه‌ها، و از سوی دیگر موقعیت، سرعت و شتاب سکوی متحرک است. سینماتیک و روابط حاکم در مراجع مختلف بررسی شده است.<sup>[۱۸]</sup> در اینجا این روابط به‌گونه‌ی که در بخش‌های بعد قابل استفاده باشد، ارائه می‌شوند.

به‌منظور بیان شش درجه آزادی میز ماشین ابزار لازم است شش وینگی شامل بردار موقعیت مرکز میز و زوایای او بر آن مشخص شوند. به این منظور یک دستگاه مختصات ثابت در مرکز سکوی ثابت  $W(X,Y,Z)$  قرار داده شده است (شکل ۱). دستگاه مختصات  $Q(x,y,z)$  متصل به مرکز سکوی متحرک است. دستگاه Q همراه با میز جابه‌جا می‌شود و محورهای آن همراه با دوران‌های میز حول محورهای دستگاه مختصات  $(P(x',y',z'))$  دوران می‌کنند. دستگاه P متصل به نقطه‌ی C مرکز سکوی متحرک است و با آن جابه‌جا می‌شود، ولی محورهای آن که  $x',y',z'$  نامیده می‌شوند، همراه موزایی محورهای X,Y,Z باقی می‌مانند و دورانی ندارند. شش میله، سکوی ثابت را به سکوی متحرک متصل می‌کنند. این اتصال با شش مفصل کروی  $m_i$  ( $i=1, \dots, 6$ ) به سکوی متحرک که هریک سه درجه آزادی دارند و شش مفصل یونیورسال  $b_i$  ( $i=1, \dots, 6$ ) به سکوی ثابت که هریک دو درجه آزادی دارند، برقرار است.

موقعیت سکوی متحرک را در دستگاه W می‌توان با بردار  $w \in \mathbb{R}^6$  نشان داد که شامل سه مؤلفه‌ی بردار نقطه‌ی C و سه زاویه‌ی دوران سکو، حول محورهای دستگاه

جدول ۱. موقعیت مفاصل یونیورسال روی سکوی ثابت نمونه اصلی.

	b۱	b۲	b۳	b۴	b۵	b۶
X(mm)	۳۵۴,۵۳۱	-۱۲۳,۱۲۷	-۲۳۱,۴۰۳	-۲۳۱,۴۰۳	-۱۲۳,۱۲۷	۳۵۴,۵۳۱
Y(mm)	۶۲,۵۱۳	۳۳۸,۲۸۹	۲۷۵,۷۷۶	-۲۷۵,۷۷۶	-۳۳۸,۲۸۹	-۶۲,۵۱۳
Z(mm)	°	°	°	°	°	°

جدول ۲. موقعیت مفاصل گروی متصل به میز متحرک نمونه اصلی (قبل از جایه‌جایی و دوران میزا).

	m۱	m۲	m۳	m۴	m۵	m۶
X(mm)	۱۵۳,۲۰۹	۳۴,۷۳۰	-۱۸۷,۹۳۹	-۱۸۷,۹۳۹	۳۴,۷۳۰	۱۵۳,۲۰۹
Y(mm)	۱۲۸,۵۵۷	۱۹۶,۹۶۲	۶۸,۴۰۴	-۶۸,۴۰۴	-۱۹۶,۹۶۲	-۱۲۸,۵۵۷
Z(mm)	۱۲۰۰	۱۲۰۰	۱۲۰۰	۱۲۰۰	۱۲۰۰	۱۲۰۰

هر یک از پایه‌ها به دست می‌آید و با استفاده از رابطه‌ی ۱۱، سفتی سازوکار حاصل می‌شود. با توجه به این که اجزا به صورت سری قرار گرفته‌اند محاسبه‌ی سفتی هر یک از پایه‌ها از رابطه‌ی مربوط به فنرهای سری تعیت می‌کند. در نهایت با اعمال سفتی سکوها به ماتریس حاصل، ماتریس سفتی کل به دست می‌آید.

سفتی پایه، به نوبه‌ی خود نیز همانند ضریب فنرهای سری است و تغییر شکل آن شامل تغییر شکل اجزای آن - نگه‌دارنده‌ی بال اسکرو، یاتاقان‌های غلتتشی، محور بال اسکرو، ساقچمه‌ها، مهره، غلاف عملکرگ مفصل کروی، مفصل یونیورسال و... است. بیشترین تغییر شکل‌ها (به صورت تجربی) شامل تغییر شکل‌های محوری بال اسکرو، مهره و اجزاء آن، غلاف عملکرگ، مفصل کروی و مفصل یونیورسال است.<sup>[۱۵۳]</sup>

در برخی از مراجع ضمن مدل‌سازی و تحلیل سفتی مفصل‌های گروی و یونیورسال نشان داده شده که از اثر سفتی موارد ذکر شده می‌توان در سفتی مجموعه‌ی پایه صرف نظر کرد.<sup>[۱۵۴]</sup> همچنین سفتی یاتاقان‌های غلتتشی بی که ساقچمه‌های دوار دارند مورد بررسی قرار گرفته است.<sup>[۱۵۵]</sup> در مرجعی دیگر نیز مفصل گروی انتخاب شده

داده می‌شود که همان میزان سفتی پایه‌ی نام است. برای تبدیل مقدار جایه‌جایی در راستای محور پایه‌ها، به جایه‌جایی در مختصات اصلی نیز رابطه‌ی زیر وجود دارد:

$$\Delta\Theta = J^{-1}\Delta X \quad (8)$$

که در آن  $\Delta X$  ماتریس جایه‌جایی در جهت بار اعمالی در دستگاه مختصات اصلی است. از طرفی بین رنج اعمالی بر سکوی متحرک در دستگاه مختصات اصلی و بردار نیروی محوری پایه‌ها، رابطه‌ی ۹ برقرار است:

$$\Delta f = J^{-T}\Delta\Gamma \quad (9)$$

که با جایگذاری معادلات ۷ و ۸ در معادله‌ی ۹ داریم:

$$\Delta f = J^{-T}KJ^{-1}\Delta X \quad (10)$$

با توجه به رابطه‌ی ۱۱ که بیان‌گر ارتباط تغییر رنج اعمالی، ماتریس سفتی و بردار جایه‌جایی است، رابطه‌ی ۱۲ برای سفتی مجری نهایی حاصل می‌شود. رابطه‌ی میان ماتریس سفتی پایه‌ها و سفتی  $K_X$  عبارت است از:

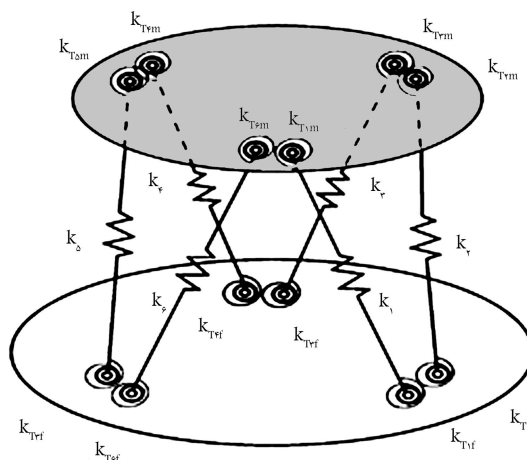
$$\Delta f = K_X\Delta X \quad (11)$$

$$K_X = J^{-T}KJ^{-1} \quad (12)$$

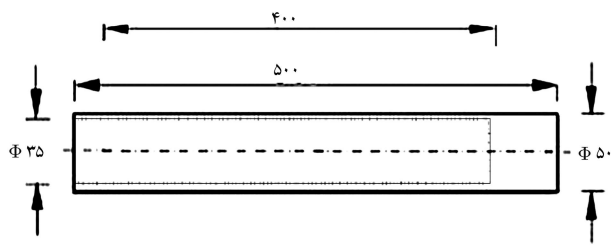
سفتی کل برابر با سفتی حاصل از ترکیب میز و سفتی  $K_X$  است. سفتی پایه‌ها بسته به موقعیت میز و مقدار نیروهای محوری متغیر خواهد بود و در هر موقعیتی باید محاسبه شود. ماتریس  $K_X$  سفتی کل سیستم بدون در نظر گرفتن سفتی میز چنین است:<sup>[۱۵۶]</sup>

$$K_X = \begin{bmatrix} K_{xx} & K_{xy} & K_{xz} & K_{x\alpha} & K_{x\beta} & K_{x\gamma} \\ K_{yx} & K_{yy} & K_{yz} & K_{y\alpha} & K_{y\beta} & K_{y\gamma} \\ K_{zx} & K_{zy} & K_{zz} & K_{z\alpha} & K_{z\beta} & K_{z\gamma} \\ K_{\alpha x} & K_{\alpha y} & K_{\alpha z} & K_{\alpha\alpha} & K_{\alpha\beta} & K_{\alpha\gamma} \\ K_{\beta x} & K_{\beta y} & K_{\beta z} & K_{\beta\alpha} & K_{\beta\beta} & K_{\beta\gamma} \\ K_{\gamma x} & K_{\gamma y} & K_{\gamma z} & K_{\gamma\alpha} & K_{\gamma\beta} & K_{\gamma\gamma} \end{bmatrix}$$

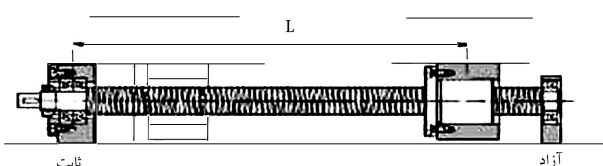
درایه‌ی  $K_{ij}$  در ماتریس فوق حاصل تقسیم درایه‌ی سطر نام از رنج اعمالی به درایه‌ی سطر زام از بردار جایه‌جایی مجری است. با در نظر گرفتن سفتی اجزای تشکیل‌دهنده (مانند شکل ۲)، به صورت مجری و سره‌هم‌سازی آنها ماتریس سفتی



شکل ۲. مدل در نظر گرفته شده به صورت اجزای جدا از هم برای تحلیل سفتی.<sup>[۳]</sup>



شکل ۳. شکل ظاهری و ابعاد غلاف عملگر. [۱۲]



شکل ۴. یاتاقان‌بندی در عملگر خطی. [۱۳]

**۴.۱.۳. سفتی یاتاقان‌های غلتتشی عملگر**  
یاتاقان‌بندی عملگر به‌گونه‌یی است که یاتاقان‌های غلتتشی با تماس زاویه‌یی، نیروهای محوری را تحمل می‌کنند (شکل ۴). به همین دلیل محاسبه‌ی سفتی در یاتاقان‌های با تماس زاویه‌یی از اهمیت بیشتری برخوردار است. روابط حاکم بر سفتی یاتاقان‌های غلتتشی عبارت است از: [۱۲]

$$Q = \frac{Fa}{Z \sin \alpha} \quad (15)$$

که در آن  $Fa$  نیروی پیش‌باروارد بر یاتاقان غلتتشی بر حسب  $Z$ ,  $\text{kN}$  تعداد ساقمه‌هایی که با رابطه  $\alpha$  زاویه‌ی تماس است. میزان جابه‌جایی از رابطه  $\alpha$  به دست می‌آید: [۱۲]

$$\delta a = \frac{0.002}{S \sin \alpha} \left( \frac{Q}{D_a} \right)^{\frac{1}{2}} \quad (16)$$

که در آن  $D_a$  یانگر اندازه‌ی قطر ساقمه‌ها بر حسب میلی‌متر است. مقدار سفتی یاتاقان غلتتشی نیز بر حسب  $\frac{k_{gf}}{mm}$  برابر خواهد بود:

$$k_B = \frac{3Fa}{\delta a} \quad (17)$$

درنتیجه برای یاتاقان غلتتشی عملگر انتخاب شده که در آن زاویه‌ی تماس  $30^\circ$  است، [۱۵]  $15$  ساقمه به قطر  $5,556$  میلی‌متر دارد و نیروی پیش‌بار آن  $300 \text{ kN}$  است، مقدار سفتی برابر  $339,6 \text{ N}/\mu\text{m}$  بود.

چنان‌که اشاره شد، در بدترین شرایط سفتی مفاصل کروی و یونیورسال و غلاف عملگر محاسبه شد. به طور تقریبی می‌توان در موقعیت‌های مختلف، برای تعیین سفتی پایه‌ها از این مقادیر استفاده کرد. ولی سفتی کششی و فشاری مهره و پیچ بالاسکرو وابسته به نیروی محوری وارد شده به پایه است که آن هم تابعی است از نیروی ماشین‌کاری و موقعیت میز. در محاسبه‌ی سفتی پایه، از سفتی پیچشی بالاسکرو، محور گیربکس و دیسک چرخدنده‌ها به‌دلیل مقدار سفتی زیاد (مانند مفاصل کروی و یونیورسال) که تأثیر کمی در سفتی کل پایه دارند، صرف نظر شده است. [۲]

به صورت تحلیلی و تجربی مورد بررسی قرار گرفته است. [۱۷] نتایج این مراجع نیز مؤید امکان صرف نظر از سفتی این اجزا در محاسبه‌ی سفتی پایه است.

### ۱.۳. سفتی المان‌های تشکیل دهنده‌ی پایه

المان‌های تشکیل دهنده‌ی پایه از مفصل یونیورسال، موتور، کوبلینگ، یاتاقان‌های غلتتشی، پیچ بال اسکرو، مهره‌ی با قابلیت پیش‌بار، غلاف عملگر خطی و مفصل کروی تشکیل یافته است. به‌دلیل سفتی زیاد موتور، کوبلینگ و گیربکس نسبت به سایر اجزاء تشکیل دهنده، از تأثیر سفتی آنها در محاسبه‌ی سفتی پایه‌ها صرف نظر می‌شود.

### ۱.۱.۳. سفتی محوری پیچ بال اسکروی عملگر

بالاسکروی عملگر انتخاب شده در این سیستم از یک طرف به‌طور کامل مهار شده و از طرف دیگر آزاد است. [۱۲] بنابراین، بالاسکرو به صورت یک تیر یک‌سرگیردار در نظر گرفته می‌شود. برای سفتی تیر یک سرگیردار با مدول کشسانی  $E$ . سطح مقطع  $A$  و طول  $L$  رابطه‌ی  $13$  برقرار است:

$$k_{BS} = \frac{AE}{1000l} \quad (13)$$

با درنظر گرفتن جنس  $42CrMo4$  برای پیچ بال اسکرو، [۱۲] و نیز  $\frac{N}{mm^2}$   $E=2,06 \times 10^5$ ،  $d_a=30 \text{ mm}$ ، بار مجاز استاتیکی  $C_a=52,2 \text{ kN}$  و بار مجاز دینامیکی  $C_{o,a}=65,3 \text{ kN}$ ، در بدترین وضعیت - زمانی که مهره در انتهای کورس قرار دارد و طول زیر بار معادل  $450$  میلی‌متر است [۱۵] - سفتی محوری پیچ برابر  $323,58 \text{ N}/\mu\text{m}$  خواهد بود. [۱۲]

باتوجه به این نکته که سفتی محوری پیچ بال اسکرو تابعی از محل اعمال نیرو (یا محل قرارگیری مهره) است، لازم است در هر لحظه باتوجه به موقعیت سکوی متحرک، محل قرارگیری مهره در هر عملگر مشخص شده و برای هر یک با توجه به رابطه‌ی  $12$ ، سفتی پیچ محاسبه شود.

### ۲.۱.۳. سفتی محوری در مهره‌ی بال اسکروی عملگر

باتوجه به این نکته که ضریب فنریت مهره‌ی بال اسکرو غیرخطی است، [۱۳] سازنده با معرفی سفتی مهره تحت وارد آمدن نیرویی برابر  $F_a = 0,3C_a = 0,3 \text{ kN}$  (تحت عنوان  $k_{thk}$ )، مطابق رابطه‌ی  $14$  طراح را برای به دست آوردن سفتی مهره‌ی تحت بار  $F$  هدایت می‌کند؛ یعنی مقدار نیروی وارد به مهره در موقعیت‌های مختلف میز از بیشترین مقدار نیروی کششی تا بیشترین مقدار نیروی فشاری متفاوت است. بنابراین سفتی مهره نیز در موقعیت‌های مختلف متفاوت بوده و تابعی از ماتریس ژاکوبین محسوب می‌شود.

$$k_N = k_{thk} \left( \frac{F}{0,1C_a} \right)^{\frac{1}{2}} * 0,8 \quad (14)$$

در منابع موجود مقدار  $k_{thk}$  معادل  $\frac{N}{\mu\text{m}}$   $670$  ذکر شده است. [۱۲]

### ۳.۱.۳. سفتی غلاف عملگر

باتوجه به شکل ۳ و ابعاد غلاف می‌توان سفتی غلاف را با محاسبات ساده‌ی مقاومت مصالح بررسی کرد، یعنی:

$$k_1 = \frac{EA}{1000l} = 40,44,8 \frac{\text{N}}{\mu\text{m}}, \quad k_2 = \frac{EA}{1000l} = 515,71 \frac{\text{N}}{\mu\text{m}},$$

$$k_j = 457,39 \frac{\text{N}}{\mu\text{m}}$$

سکوی متوجه به اندازه‌ی  $-30^\circ$  و  $-20^\circ$  درجه حول هریک از محورهای مختصات در شکل‌های (۵) الف تا (۷) د نشان داده شده است.

شکل ۷ تغییرات سفتی مجری نهایی را با دوران‌های  $-30^\circ$ ،  $6^\circ$ ،  $7^\circ$ ،  $6^\circ$ ،  $5^\circ$ ،  $6^\circ$ ،  $7^\circ$  در ارتفاع بالایی فضای مکعبی را نشان می‌دهد. در شکل‌های (۵)، (۶)، (۷) الف، د و ه مسیری در صفحه‌ی  $x-y$  وجود دارد که در آن سفتی سازه به طور ناگهانی افت زیادی خواهد داشت. این مسیر موقعیت‌های تکین را برای سفتی سازه نشان می‌دهد. مسیرهای تکین در زوایا و ارتفاع‌های مختلف متفاوت است. در یک طرح مناسب لازم است مسیر نقاط تکین از فضای کاری دور باشد. همچنین فضای کاری که در آن حد کمینه‌ی سفتی مورد نظر طراح ارضامی شود به عنوان فضای کاری با دقت مناسب معرفی می‌شود.

## ۵. آزمایش با مدل ساخته شده

بعد از طراحی شماتیک اولیه از میز اصلی، با توجه به ابعاد و اندازه‌های سازه‌ی ماشین، مدل فیزیکی با مقیاس ۱/۲ از سازه‌ی میز استوارت - گوف، و از جنس پلی‌ایلن ساخته شد (مخصصات مفاصل مدل در جدول‌های ۳ و ۴ آمده است). به‌منظور محاسبه و بررسی سفتی مجری نهایی در راستای Z، میزان جابه‌جایی مجری نهایی در موقعیت‌های مختلف میز متوجه، تحت بارگذاری با رنج  $[50, 50, 50, 50, 50, 50]^\text{T}$  به‌دست آمد. خروجی عملیات شبیه‌سازی با نیروی محوری و طول پایه‌ها در شرایط بارگذاری فیزیکی مورد نظر به‌دست آمد.

سفتی مجری نهایی و پایه‌ها از تقسیم بار اعمال شده بر جابه‌جایی کشسان سازه

## ۲.۳. سفتی و مقدار کلی جابه‌جایی کشسان

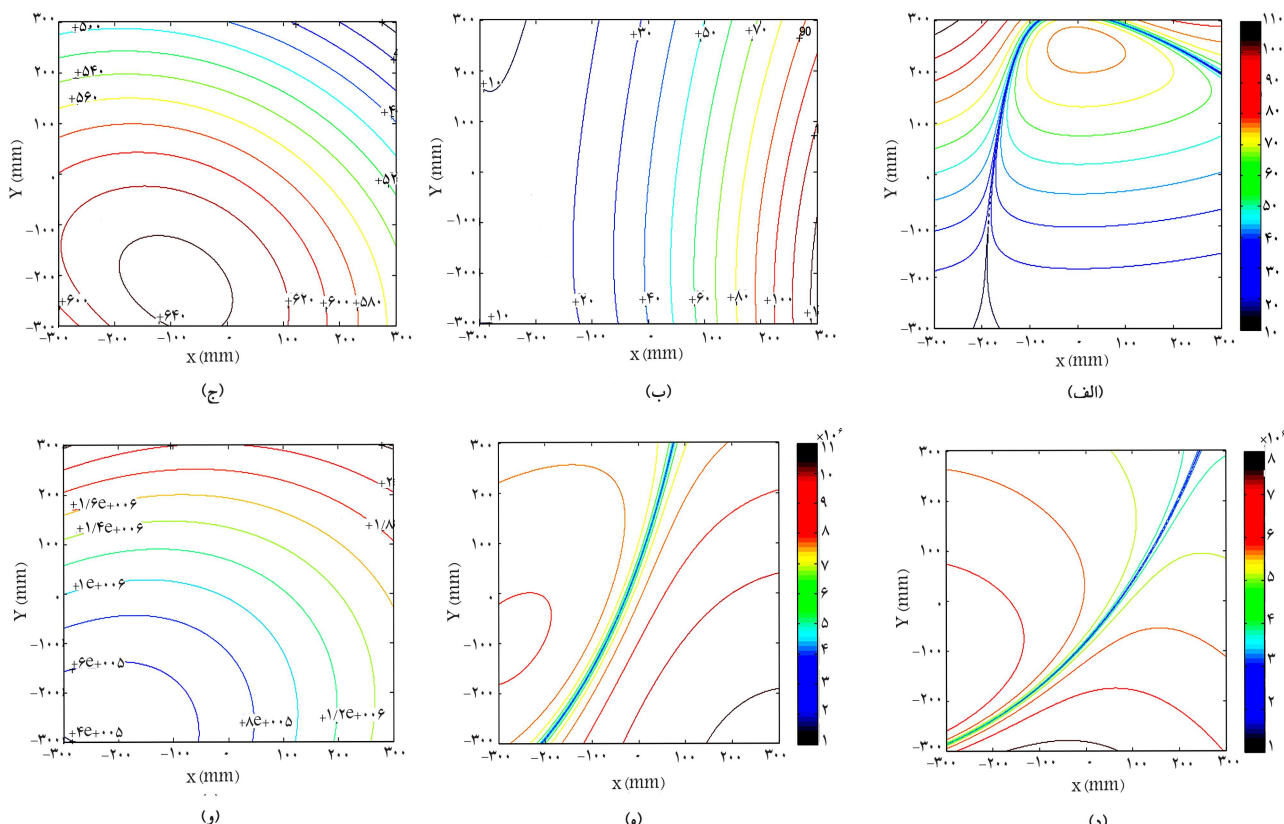
### ۲.۳.۱. سفتی و مقدار تغییر شکل سازه بدون درنظر گرفتن سفتی و جابه‌جایی میز

ماتریس سفتی سیستم در موقعیت‌های مختلف متفاوت است. درایه‌های روی قطر اصلی بیان‌گر سفتی در راستا و حول محورهای مختصات x، y و z هستند. در راستای محورهای y، z، x کمترین مقادیر سفتی وجود دارد، بنابراین بیشترین جابه‌جایی کشسان نیز در این راستا نمی‌دهد.<sup>[۱۵]</sup> هنگام بکارگیری این سازوکار در ماشین ابار با محدودکردن نیرو و گشتاورهای ماشین‌کاری، دسترسی به جابه‌جایی کشسان کمتر و متعاقب آن دقت بالاتر امکان‌پذیر خواهد بود.

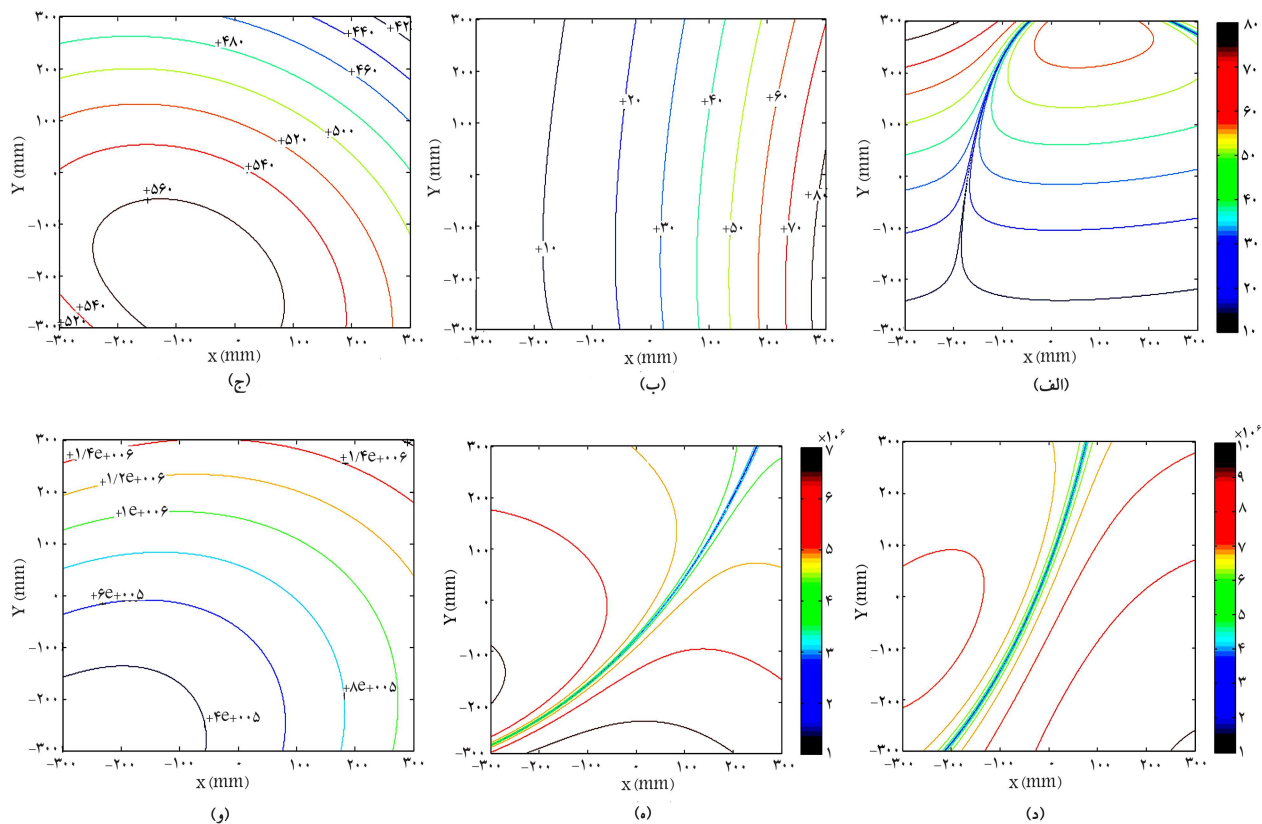
ماتریس سفتی یک ماتریس متقاضن به دست نیامده است.<sup>[۱۵]</sup> دلیل این امر نیز غیرخطی بودن سفتی برخی از المان‌ها مانند یاتاقان‌های غلتشی و بالاسکرو نسبت به تغییرات طول و نیرو است. جابه‌جایی کشسان مجری نهایی با اعمال جابه‌جایی کشسان میز سازوکار حاصل می‌شود. میزان سفتی میز با استفاده از نرم‌افزار NASTRAN بدست آمده<sup>[۱۵]</sup> و در موقعیتی که بیشترین نیروی محوری در یکی از پایه‌ها به صورت فشاری وارد می‌آید نشان داده شده است. برای افزایش سفتی از تقویت کننده در سطح زیرین میز استفاده شده است.

## ۴. تغییرات سفتی در فضای کاری سازوکار

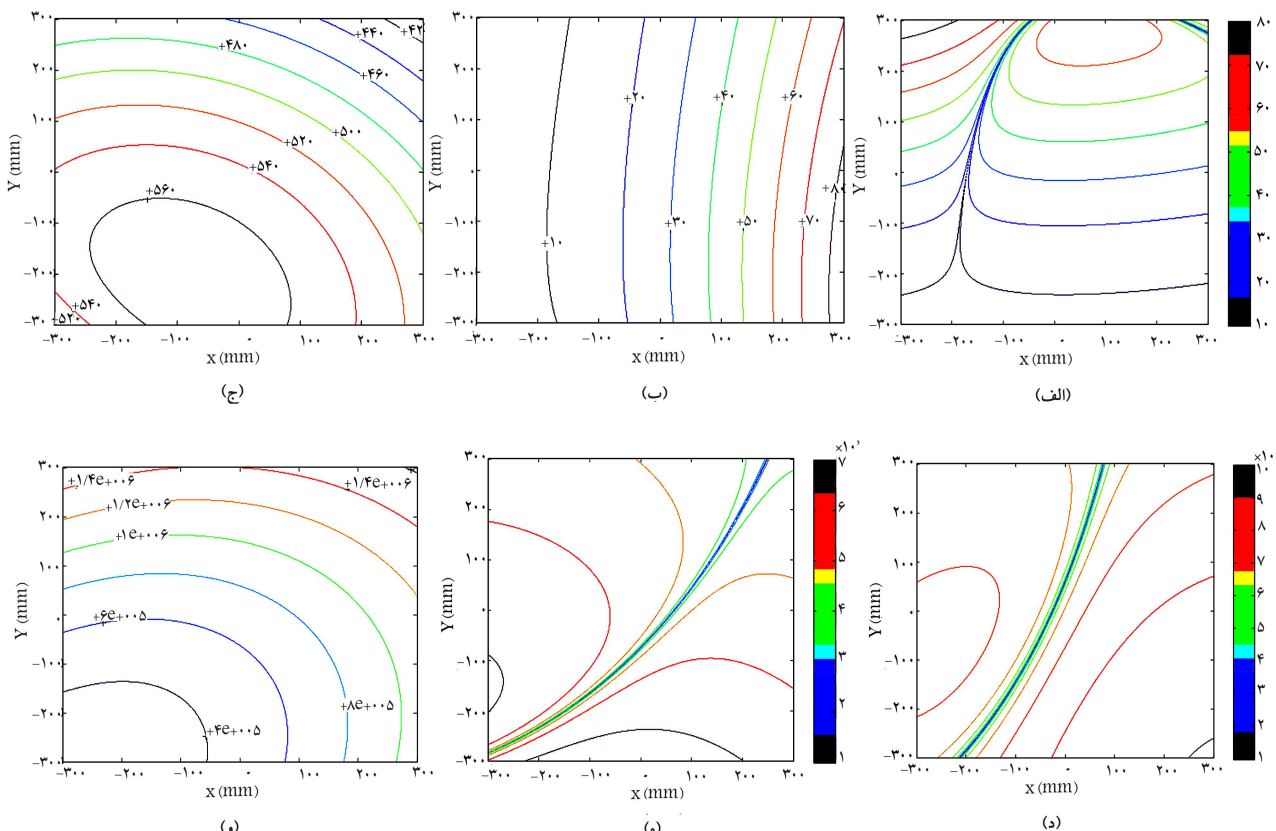
تغییرات سفتی سازوکار در یک فضای مکعبی  $600 \times 600 \times 200$  mm در دو ارتفاع ۱۲۰۰ و ۱۴۰۰ میلی‌متری (سطح پایه‌ی و بالایی مکعب) با زوایای دوران



شکل ۵. تغییرات سفتی مجری نهایی (در ارتفاع ۱۲۰۰ میلی‌متر) با زوایای دوران  $-30^\circ$  - درجه - سفتی خطی (N/mm/Degree) و سفتی دورانی (N/micrometer).



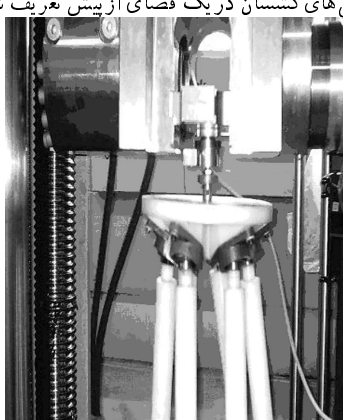
شکل ۶. تغییرات سفتی مجری نهایی (درازفاخ ۱۲۰۰ میلی‌متر) با زوایای دوران ۲۰ درجه - سفتی خطی (N/mm/Degree) و سفتی دورانی (N/Micrometer).



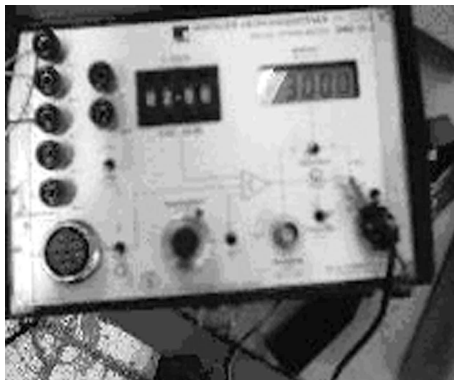
شکل ۷. تغییرات سفتی مجری نهایی (درازفاخ ۱۴۰۰ میلی‌متر) با زوایای دوران ۳۰ درجه - سفتی خطی (N/mm/Degree) و سفتی دورانی (N/Micrometer).

جدول ۳. موقعیت مفاصل یونیورسال روی سکوی ثابت مدل.

	b۱	b۲	b۳	b۴	b۵	b۶
X (mm)	۱۶۴,۴۴۷	-۳۰,۳۸۸	-۱۳۴,۰۵۸	-۱۳۴,۰۵۸	-۳۰,۳۸۸	۱۶۴,۴۴۷
Y (mm)	۵۹,۸۵۳	۱۷۲,۳۴۱	۱۱۲,۴۸۸	-۱۱۲,۴۸۸	-۱۷۲,۳۴۱	-۵۹,۸۵۳
Z (mm)	۰	۰	۰	۰	۰	۰



شکل ۹. قرارگیری میز در مختصات (۰,۰,۶۵۰,۰,۰,۰).

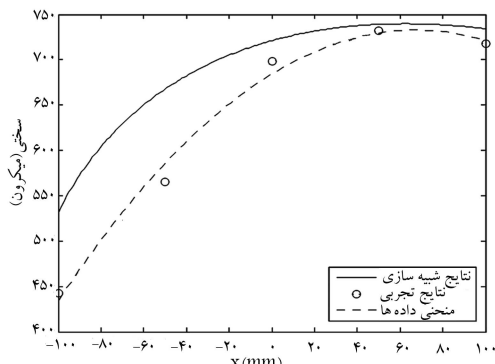


شکل ۱۰. میزان کرنش در یکی از پایه‌ها و اعمال بار ۴۰۰ نیوتون.

فضایی برای دسترسی مجری نهایی به هدف با دقت مناسب را ممکن می‌سازد. کمترین میزان سفتی در راستای محورهای X و Y دیده می‌شود. ماتریس سفتی ربات به دلیل استفاده از المانهای با قابلیت پیش‌بارکه سفتی هر پایه به طور غیرخطی تابعی از نیروی اعمال شده و طول پایه است از شکل مقاینه خارج شده است. سفتی به طور ناگهانی در اطراف نقاط تکین کاهش می‌یابد. برای بیشینه‌سازی حجم فضایی کاری می‌توان هندسه‌ی سازه را بهینه کرد. مقادیر عددی جابه‌جایی کشسان پایه‌ها برای مدل ساخته شده از جنس پلی‌اتیلن با مقیاس ۱/۲ نمونه‌ی اصلی، با مقادیر تجربی مقایسه و تأیید شد.

جدول ۴. موقعیت مفاصل کروی متصل به میز متحرک مدل (قبل از جابه‌جایی و دوران میز).

	m۱	m۲	m۳	m۴	m۵	m۶
ZX X(mm)	۷۹,۳۳۵	۱۳,۰۵۳	-۹۲,۳۸۸	-۹۲,۳۸۸	۱۳,۰۵۳	۷۹,۳۳۵
Y Y(mm)	۶۰,۸۷۶	۹۹,۱۴۴	۳۸,۲۶۸	-۳۸,۲۶۸	-۹۹,۱۴۴	-۶۰,۸۷۶
Z Z(mm)	۶۰۰	۶۰۰	۶۰۰	۶۰۰	۶۰۰	۶۰۰



شکل ۸. تغییرات سفتی مجری نهایی در راستای Z در آزمایش روی مدل پلی‌اتیلنی.

به دست آمده است. اندازه‌گیری جابه‌جایی کشسان به کمک کرنش‌سنج و دستگاه کرنش‌خوان صورت گرفت.<sup>[۱۶]</sup> شکل ۸ نتایج تغییرات سفتی مجری نهایی در MATLAB آزمایش، خطی‌سازی نتایج و بعد از شبیه‌سازی در محیط MATLAB نشان می‌دهد. مقدار ۱۷٪ خطای متوسط در محاسبه‌ی سفتی در شکل ۸ مشاهده می‌شود. شکل‌های ۹ و ۱۰ مراحل گوناگون آزمایش را نشان می‌دهند.

## پانوشت

1. kinetostatics analysis
2. wrench

## منابع

1. Gough, V.E. "Contribution to discussion of papers on research in automobile stability, control and tire perfor-

- mance”, *Proc. Auto Div. Inst. Mech. Eng.*, pp.392-394 (1956-1957).
2. Stewart, D. “A platform with six degree of freedom”, *Proc. Inst. Mech. Eng.*, **180**,(15), pt.1, pp. 371-386 (1965).
  3. El-Khasawneh, B.S., and Placid M.F. “Computation of stiffness and stiffness bound for parallel links manipulators”, Article in press, Accepted in ASME journal.
  4. Gasselin, C. “Stiffness mapping for parallel manipulators”, *IEEE Transactions of Robotic and, Automation*, **6**(3) ,pp. 377-382 (1990).
  5. Chakarov, D. “Study of the passive compliance of parallel manipulators”, *Mechanism and Machine Theory*, **34**, pp. 373-389 (1999).
  6. Chakarov, D. “Study of the antagonistic stiffness of parallel manipulators with actuation redundancy”, *Mechanism and Machine Theory*, **39** ,pp.583-601 (2004).
  7. Ceccarelli, M., and Carbone, G. “A stiffness analysis for CaPaMan (cassino parallel manipulator)”, *Mechanism and Machine Theory*, **37**, (5), pp.427-439 (2002).
  8. Ceccarelli M., “A stiffness analysis for CaPaMan”, *Proceedings of Conference on New Machine Concepts for Handling and Manufacturing Devices on the Basis of Parallel Structures*, VDI 1427, Braunschweig, , pp.67-80 (1998).
  9. Carbone G., “Stiffness evaluation of multibody robotic systems”, PhD Dissertation, LARM, University of Cassino, Cassino, (2003).
  10. Carbone G., and Ceccarelli M., “A procedure for experimental evaluation of cartesian stiffness matrix”, 15th CISM-IFTOMM Symposium on Robot Design, Dynamics and Control ROMANSY, Montreal, *CD Proceedings*, paper Rom04-24, (2004).
  11. Majou, F.; Gosselin, C.; Wenger, P. D., and Chablat, V., “Parametric stiffness analysis of the orthoglide”, *Mechanism and Machine Theory*, **42**, pp.296–311 (2007).
  12. Merlet, J-P.; Parallel robots, First Edition, Kluwer Academic Publishers, (2000).
  13. WWW.THK.com
  14. Farkhondehal, H. “Kinematic design of hexapod machine tool,” M.SC. Thesis, dept. of Mech. Eng., Tarbiat Modares University (2005).
  15. Hosseini, M.A., “Design and Manufacturing of 3-axis CNC hexapod milling machine tool”, M.SC. Thesis, Dept of Mech. Eng., Tarbiat Modares University (2005).
  16. Hosseini, M.A., Nategh, M.J., Farkhondehal, H., “Statistical analysis of force in the hexapod table of a CNC milling machin, Amirkabir Int. J. of Science and Technology, **18** (66-B), pp. 1-7, (2007).
  17. Przemysław, S. , “Determination of the stiffness of rolling kinematic pairs of manipulators”, *Mechanism and Machine Theory*, Article in press, Received on 2006.

### ضمیمه

ماتریس دوران R حول محورهای (X,Y,Z) از شکل ۱ به اندازه‌ی ( $\alpha, \beta, \gamma$ ) عبارت است:

$$R = \begin{bmatrix} C\beta C\gamma & -C\beta S\gamma & S\beta \\ S\alpha S\beta C\gamma + C\alpha S\gamma & -S\alpha S\beta S\gamma + C\alpha C\gamma & -S\alpha C\beta \\ -C\alpha S\beta C\gamma + S\alpha S\gamma & C\alpha S\beta S\gamma + S\alpha C\gamma & C\alpha C\beta \end{bmatrix}$$

که در آن C و S به ترتیب به کسینوس و سینوس اشاره دارند.